

Теперь, чтобы определить восстановленное изображение по формуле (2) и мощность шума после восстановления по формуле (3), необходимо разумно выбрать значение оставшегося неопределенного параметра E . Легко видеть, что по мере уменьшения параметра регуляризации E винеровский фильтр приближается к инверсному и происходит улучшение качества восстановленного изображения. Однако, согласно формуле (3), одновременно с этим происходит рост случайных шумов в восстановленном изображении. Поэтому выбор параметра E необходимо делать исходя из разумного компромисса. Мы будем изучать свойства восстановленных изображений при тех значениях параметра E , при которых отношение средних статистических значений шума в восстановленном изображении к исходному не превосходит двух $\sqrt{Dn'}/Dn < 2$, где Dn — дисперсия шума до восстановления, Dn' — после восстановления.

Предполагая малость параметра E , учтываем вклад в интеграл только ближайших окрестностей корней $K(x)=\sin a(x^4-x^2)$, разлагая синус в ряд вблизи корня

$$x_{mn} = \frac{1}{\sqrt{2}} \sqrt{1 \pm \sqrt{1 - \frac{4m}{4n+3}}} \quad (4)$$

Интеграл (3) для мощности шума может быть вычислен приближенно. Наиболее существенный вклад дают окрестности корней $K(x)=\sin a(x^4-x^2)$. Разлагая синус в ряд вблизи корня и суммируя по всем корням, после некоторых преобразований получим

$$I = \frac{1}{16\sqrt{2E}c^{3/2}} \left\{ \ln \frac{2\left(1+\frac{c}{2}\right)(c^{1/2}+2^{1/2}c^{1/4}+1)}{(1+c)^{1/2}(c^{1/2}+2^{1/2}c^{1/4}+2^{1/2})^2} + 2 \arctg \frac{2^{1/2}c^{1/4}}{2^{1/2}-c^{1/2}} - \arctg \frac{2^{1/2}c^{1/4}}{1-c^{1/2}} \right\}$$

Здесь

$$c = \frac{k^2r^2}{6Z} \{2(4n+3)\}^{1/2} \left(\frac{\lambda}{C_{\text{сф}}}\right)^{1/2}$$

Согласно работе [5], задаем ряд оптимальных апертур объектива от 1.7 до $3.5 \cdot 10^{-2}$. Отношение мощности шума до фильтрации к мощности шума после фильтрации выбираем не большим $1/4$. Тогда путем несложных вычислений можно получить значение параметра E от 10^{-6} до 10^{-5} . Проведенные расчеты показывают, что после фильтрации разрешающая способность будет определяться только дифракционной ошибкой и для указанных апертур объективной линзы оказывается равной от 1.3 до 0.6 \AA .

Таким образом, реконструкция при использовании фильтров типа Винера исследована нами до разрешающей способности 0.6 \AA , которая соответствует апертуре объективной линзы $3.5 \cdot 10^{-2}$ рад. Как показано в работе [5], по мере увеличения апертуры объектива повышается необходимая точность дефокусировки изображения и для апертуры $3.5 \cdot 10^{-2}$ рад. она равна 20 \AA , что находится на пределе ограничений, накладываемых максвелловским разбросом скоростей электронов, выходящих из катода.

Используя фильтр типа Винера, мы отфильтровали геометрические aberrации и исправили частотно-контрастную характеристику; после восстановления осталась только дифракционная ошибка. Сравнение с результатами информационной оценки разрешения, сделанной в предыдущей статье [1], показывает, что использование со-гласованных фильтров может дать существенный выигрыш в разрешении по сравнению с обычными линейными фильтрами.

Автор благодарит Ю. В. Воробьева за полезные обсуждения.

Литература

- [1] А. А. Вязгин. Опт. и спектр., 45, 1978.
- [2] Сб. «Обработка изображений при помощи цифровых вычислительных машин» под ред. Г. Эндрюса и Л. Инло. «Мир», М., 1973.
- [3] T. A. Welton et al. Proc. Eighth Int. Cong. El. Micr., 318, 1974.
- [4] G. W. Strooke, M. Haliowa, F. Thon, D. Willasch. Optik, 41 319, 1974.
- [5] А. А. Вязгин. Изв. АН СССР, сер. физ., 34, 1416, 1970.

Поступило в Редакцию 7 февраля 1978 г.

УДК 535.375.5.01

К ТЕОРИИ ДИСПЕРСИИ КОЭФФИЦИЕНТОВ ДЕПОЛЯРИЗАЦИИ И ОБРАЩЕНИЯ В СПЕКТРЕ КОЛЕБАТЕЛЬНОГО КОМБИНАЦИОННОГО РАССЕЯНИЯ

B. A. Морозов

Зависимость коэффициентов деполяризации ρ и обращения P линии комбинационного рассеяния (КР) от частоты падающего света ω_ϕ (дисперсия ρ и P) обусловлена различием дисперсии симметричного и антисимметричного рассеяния. В работах [1, 2]

дисперсия ρ и P была теоретически изучена на примере колебательно-вращательного КР для компонент Q -ветви двухатомных молекул. В [1] показано, что за счет интерференционного эффекта при сложении амплитуд вероятности, соответствующих преобразованию фотона при участии состояний с квантовыми вращательными числами $J_0 - 1$ и $J_0 + 1$ (J_0 — квантовое число начального и конечного состояния молекулы), при вращательном резонансе существенную роль играет антисимметрическая часть рассеяния. Ее относительный вклад особенно возрастает при возбуждении частотами ω_ϕ , попадающими между частотами переходов на подуровни $J_0 - 1$ и $J_0 + 1$, что приводит к резонансной зависимости ρ и P от ω_ϕ . В [2] показано, что эти зависимости носят резонансный характер с максимумом между частотами переходов на подуровни $J_0 - 1$ и $J_0 + 1$ и шириной γ (γ — однородная ширина $J_0 - 1$ - и $J_0 + 1$ -подуровней). При этом в максимуме $\rho > 3/4$, $P > 1/6$ (аномальные деполяризация и обращение) и зависят от γ . При $\rho \gg 1$ и $P \gg 1$ говорят об инверсной поляризации и обращении (заметим, что часто используют такое определение коэффициента обращения P' , что $P' = P^{-1}$, однако для изучения дисперсии удобнее определение P , используемое в [2]).

В спектре колебательного КР инверсная поляризация впервые наблюдалась в 1972 г. в работе [3] при облучении молекул гемоглобина и цитохрома C в области частот между полосами поглощения α и β , соответствующих компонентам колебательной структуры $v=0$ и $v=1$. В последующие годы было выполнено много экспериментальных работ по изучению дисперсии ρ в спектрах резонансного КР различных молекул и ионов (ссылки на основные работы см., например, в [4]). Интерес к этим исследованиям неуклонно возрастает, так как изучение дисперсии ρ дает ценные сведения, например, о симметрии молекул.

Наиболее полное изучение дисперсии ρ было проведено на молекулах порфиринов. При этом оказалось, что привлечение одних только соображений относительно симметрии колебаний недостаточно для объяснения наблюдавшихся зависимостей $\rho(\omega_\phi)$.

В работах [5, 6] объяснение зависимости $\rho(\omega_\phi)$ было дано на основе использования простейшей модели молекулы, приводящей к дисперсии в колебательном КР при классическом рассмотрении вращения.

Рассмотрим молекулу, у которой отличны от нуля лишь матричный элемент электронного дипольного перехода $(M_\zeta)_{00}^{n0}$ и электронно-колебательного перехода $(M_\eta)_{00}^{n\pm 1}$ (первый индекс характеризует электронное состояние молекулы, второй — колебательное; ζ, η, ζ — оси декартовой системы координат, жестко связанной с молекулой). Отличные от нуля матричные элементы поляризуемости $0 \rightarrow 1$ для такой молекулы при $v=0$ и $v=1$ в системе координат ξ, η, ζ имеют вид

$$(a_{\eta\zeta})_{01} = \hbar^{-1} (M_\eta)_{01}^{n0} (M_\zeta)_{00}^{n0} (\omega + \Delta + i\gamma_{n0})^{-1}, \\ (a_{\zeta\eta})_{01} = \hbar^{-1} (M_\zeta)_{01}^{n1} (M_\eta)_{01}^{n0} (\omega - \Delta + i\gamma_{n1})^{-1}, \quad (1)$$

где $\omega \equiv \omega_\phi - \omega_{n0} - \Delta \equiv \omega_\phi - \omega_{n1} + \Delta$, $\omega_{n1} - \omega_{n0} \equiv 2\Delta$ — интервал частот между рассматриваемыми колебательными подуровнями возбужденного электронного состояния; γ_{n0} и γ_{n1} — однородные ширины этих подуровней, которые в дальнейшем для простоты считаем равными γ .

Различие знаменателей в $(a_{\eta\zeta})_{01}$ и $(a_{\zeta\eta})_{01}$ приводит к возникновению антисимметрического рассеяния, относительная величина которого велика особенно при $|\omega| < \Delta$, т. е. при возбуждении в области частот между компонентами колебательной структуры $v=0$ и $v=1$.

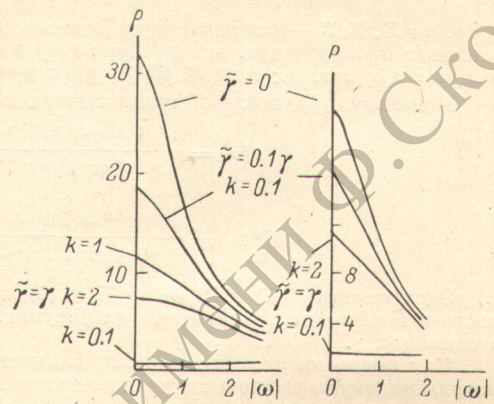
С использованием (1) в [5, 6] получено

$$\rho(\omega) = \frac{3}{4} + \frac{5}{4} \frac{\Delta^2}{\omega^2 + \gamma^2}. \quad (2)$$

В последнее время начато также систематическое экспериментальное изучение величины P в спектрах резонансного КР различных молекул и ионов [7], поэтому представляют интерес знать зависимость $P(\omega_\phi)$, предсказываемую теорией.

Для рассмотренной выше модели молекулы, используя (1) и определение P , как в [2], после обычных вычислений получаем

$$P = \frac{1}{6} + \frac{5}{6} \frac{\Delta^2}{\omega^2 + \gamma^2}. \quad (3)$$



Дисперсия коэффициентов деполяризации и обращения.

Таким образом, как и в случае вращательного резонанса при квантовом описании вращения, интерференционный эффект при сложении амплитуд рассеяния (1), соответствующих виртуальным состояниям $v=0$ и $v=1$, в области колебательного резонанса при классическом описании вращения молекулы приводит к дисперсии ρ и P .

Формула (2) передает общий ход наблюдавшихся зависимостей $\rho(\omega_\phi)$ в области $|\omega| \leq \Delta$, однако количественное сравнение, особенно для максимальных значений ρ , как отмечается в [6], приводит к расхождениям. Это, по-видимому, связано с влиянием факторов, которые не учитываются в принятой простой модели рассеивающей молекулы. В [6] показано, например, что величина ρ в этой области ω очень чувствительна к действию неоднородно уширшающих возмущений.

Рассмотрим влияние на дисперсию ρ и P недиагональных элементов матрицы нерадиационного затухания под уровней $v=0$ и $v=1$: $\gamma_{n_0, n_1} = \tilde{\gamma}_{n_0, n_0} = \tilde{\gamma}$.

Для принятой модели молекулы с учетом $\tilde{\gamma}$ по формуле (13) работы [8] (см. также [9]) получаем

$$(\bar{a}_{\rho\sigma})_{01} = (M_\zeta)_{00}^{n_0^0} (M_\eta)_{00}^{n_1^1} \times \\ \times \frac{(\omega - \Delta + i\gamma)(\sigma\eta)(\rho\zeta) + (\omega + \Delta + i\gamma)(\sigma\zeta)(\sigma\eta) - i\tilde{\gamma}k(\sigma\eta)(\rho\eta) - i\tilde{\gamma}k^{-1}(\sigma\zeta)(\rho\zeta)}{\hbar(\omega - \Delta + i\gamma)(\omega + \Delta + i\gamma) + \hbar\tilde{\gamma}^2}, \quad (4)$$

где $\rho, \sigma = X, Y, Z$ — оси декартовой системы координат, относительно которой молекула занимает произвольную ориентацию; $(\sigma\eta)$ и т. д. — направляющие косинусы между осями σ и η и т. д.; $k = (M_\eta)_{00}^{n_1^1}/(M_\zeta)_{00}^{n_0^0}$ и предполагается, что $\omega_{n_0} \gg \Delta$.

Используя (4), после обычных вычислений получаем

$$\rho(\omega) = \frac{3(\omega^2 + \gamma^2) + 5\Delta^2 + \tilde{\gamma}^2(k^2 + k^{-2} - 4)}{4(\omega^2 + \gamma^2) + \tilde{\gamma}^2(3k^2 + 3k^{-2} + 2)}, \quad (5)$$

$$P(\omega) = \frac{\omega^2 + \gamma^2 + 5\Delta^2 + \tilde{\gamma}^2(2k^2 + 2k^{-2} + 3)}{6(\omega^2 + \gamma^2) + 2\tilde{\gamma}^2(k^2 + k^{-2} - 1)}. \quad (6)$$

Зависимости $\rho(\omega)$ и $P(\omega)$ по (5) и (6) при $\Delta = 5\gamma$, как это приблизительно имеет место в порфиринах, приведены на рисунке. По оси абсцисс отложены значения $|\omega|$ в единицах γ .

Как видно из рисунка, недиагональность матрицы затухания для рассмотренной модели молекулы приводит к уменьшению значений ρ и P в области $|\omega| \approx 0$, ослабляя тем самым зависимость ρ и P от ω .

Таким образом, при интерпретации наблюдаемых зависимостей $\rho(\omega_\phi)$ и $P(\omega_\phi)$ следует иметь в виду влияние недиагональных элементов матрицы затухания. Отметим, что это влияние, как видно из сравнения (5), (6) с результатами работы [9], может скрываться сильнее на ρ и P , чем на форме спектра поглощения.

Благодарю П. П. Шорыгина за обсуждение затронутых здесь вопросов.

Литература

- [1] В. А. Морозов. Опт. и спектр., 18, 198, 1965.
- [2] В. А. Морозов. Опт. и спектр., 19, 35, 1965.
- [3] T. G. Spiro, T. C. Strelakas. Proc. Nat. Acad. Sci. USA, 69, 2622, 1972.
- [4] A. Warshel. Chem. Phys. Lett., 43, 273, 1976.
- [5] O. S. Mortensen. Chem. Phys. Lett., 30, 406, 1975.
- [6] O. S. Mortensen. Chem. Phys. Lett., 43, 576, 1976.
- [7] И. В. Александров, Н. М. Беляевская, Я. С. Бобович, А. В. Борткевич, В. Г. Маслов. ЖЭТФ, 68, 1274, 1975.
- [8] В. А. Морозов, П. П. Шорыгин. Опт. и спектр., 20, 214, 1966.
- [9] В. А. Морозов. Опт. и спектр., 21, 145, 1966.

Поступило в Редакцию 7 февраля 1978 г.

УДК 539.194

ПРИМЕНЕНИЕ МЕТОДА ВЫЖИГАНИЯ ПРОВАЛОВ ДЛЯ СОПОСТАВЛЕНИЯ ВРЕМЕН РЕЛАКСАЦИЙ СОСТОЯНИЙ 0—0 И 0—1 В СИСТЕМАХ, ОСУЩЕСТВЛЯЮЩИХ ВНУТРИКОМПЛЕКСНЫЙ ФОТОПЕРЕНОС ЭЛЕКТРОНА

Б. Г. Маслов

В последнее время было обнаружено явление выжигания провалов в спектрах поглощения органических соединений под действием монохроматического облучения растворов или смешанных кристаллов при гелиевых температурах [1-3]. Рядом ав-